
СИСТЕМНЫЙ АНАЛИЗ, УПРАВЛЕНИЕ И ОБРАБОТКА ИНФОРМАЦИИ

SYSTEM ANALYSIS, CONTROL, AND INFORMATION PROCESSING

УДК 681.5
DOI: 10.17586/0021-3454-2024-67-7-551-558

АЛГОРИТМЫ БЕЗДАТЧИКОВОГО УПРАВЛЕНИЯ АСИНХРОННЫМ ДВИГАТЕЛЕМ С ИСПОЛЬЗОВАНИЕМ АДАПТИВНЫХ НАБЛЮДАТЕЛЕЙ

К. К. Нгуен, А. А. Пыркин, А. К. Голубев*

Университет ИТМО, Санкт-Петербург, Россия

* akgolubev@itmo.ru

Аннотация. Рассмотрены математические модели асинхронного электродвигателя, на базе одной из которых предложено адаптивное непрямое полеориентированное управление, позволяющее обеспечить регулирование заданного крутящего момента и скорости вращения ротора несмотря на неизвестные момент нагрузки, сопротивление и индуктивность ротора.

Ключевые слова: асинхронный электродвигатель, полеориентированное управление, адаптивное управление, бессенсорное управление.

Благодарности: работа выполнена при поддержке Министерства науки и высшего образования Российской Федерации, госзаказ № 2019-0898.

Ссылка для цитирования: Нгуен К. К., Пыркин А. А., Голубев А. К. Алгоритмы бездатчика управления асинхронным двигателем с использованием адаптивных наблюдателей // Изв. вузов. Приборостроение. 2024. Т. 67, № 7. С. 551–558. DOI: 10.17586/0021-3454-2024-67-7-551-558.

SENSORLESS CONTROL ALGORITHM FOR INDUCTION MOTOR USING ADAPTIVE OBSERVERS

Q. C. Ngyen, A. A. Pyrkin, A. K. Golubev*

ITMO University, St. Petersburg, Russia

* akgolubev@itmo.ru

Abstract. Mathematical models of induction motor are considered. Based on one of the models, an adaptive indirect field-oriented control algorithm is proposed that allows maintaining specified values of torque and the rotor angular velocity despite the fact that the load torque, rotor resistance and inductance are unknown.

Keywords: induction motor, field-oriented control, adaptive control, sensorless control

Acknowledgments: The work was carried out with the support of the Ministry of Science and Higher Education of the Russian Federation, state assignment No. 2019-0898.

For citation: Ngyen Q. C., Pyrkin A. A., Golubev A. K. Sensorless control algorithm for induction motor using adaptive observers. *Journal of Instrument Engineering*. 2024. Vol. 67, N 7. P. 551–558 (in Russian). DOI: 10.17586/0021-3454-2024-67-7-551-558.

Введение. Развитие современных методов синтеза адаптивных наблюдателей для нелинейных систем открывает новые возможности при разработке систем бездатчикового (бессенсорного) управления в технических системах. Особенно актуальной является разработка бессенсорного управления применительно к двигателям переменного тока. Наиболее широко

распространенные электродвигатели — трехфазные асинхронные машины благодаря простоте конструкции и надежной работе.

Способы управления двигателями переменного тока подробно изложены в большом количестве публикаций [1–3]. В настоящей статье внимание сосредоточено на векторном полеориентированном управлении (field-oriented control), впервые предложенном в [4] и обобщенном в [5]. При использовании этого способа предполагается независимое управление скоростью и крутящим моментом электродвигателя при переменном моменте нагрузки. Достоинство такого подхода — математическое разделение контуров управления электромагнитной и механической динамикой. Наряду с классическим полеориентированным управлением [4, 5] известен также метод непрямого полеориентированного управления асинхронным двигателем [6, 7], в котором для формирования закона управления не требуется мгновенное значение потокосцепления.

Эти методы, несмотря на безусловные достоинства и преимущества по сравнению с простейшим в реализации скалярным управлением, имеют, однако, серьезные недостатки, касающиеся требований по точному знанию сопротивления ротора и индуктивности обмоток статора. Поскольку при работе электродвигатель неизбежно нагревается, значения этих параметров меняются со временем, что негативно влияет на показатели качества и устойчивости системы управления электроприводом. В [8] предпринята попытка синтезировать алгоритм адаптивного управления по выходу с одновременным оцениванием сопротивления, индуктивности и момента нагрузки. Следует отметить, что полученный алгоритм обладает высокой динамической развернутостью, что может привести к затруднениям на стадии программной реализации в микроконтроллере, поскольку известно, что нелинейные алгоритмы адаптации при приближенной дискретизации чувствительны к параметрам регулятора и могут терять устойчивость.

В настоящей работе систематизированы математические модели асинхронного двигателя, на базе которых целесообразно синтезировать алгоритмы управления. Предложен алгоритм адаптивного непрямого полеориентированного управления без использования датчиков регулируемых переменных: потокосцепления и крутящего момента. Показано, что можно отказаться и от датчиков положения или скорости вращения ротора, заменив их соответствующим адаптивным наблюдателем и реализовав таким образом бездатчиковое управление.

Математические модели асинхронного двигателя. Рассмотрим динамическую модель асинхронного двигателя в двухфазной неподвижной системе координат, связанной со статором [1–3]:

$$\frac{d\mathbf{i}_{\alpha\beta}}{dt} = -\left(\frac{R_s}{L_s\sigma} + \frac{R_r L_{sr}^2}{\sigma L_s L_r^2}\right)\mathbf{i}_{\alpha\beta} + \frac{L_{sr}}{\sigma L_s L_r}\left(\frac{R_r}{L_r}\mathbf{I} - n_p\omega\mathbf{J}\right)\boldsymbol{\lambda}_{\alpha\beta} + \frac{1}{\sigma L_s}\mathbf{v}_{\alpha\beta}; \quad (1)$$

$$\dot{\boldsymbol{\lambda}}_{\alpha\beta} = -\left(\frac{R_r}{L_r}\mathbf{I} - n_p\omega\mathbf{J}\right)\boldsymbol{\lambda}_{\alpha\beta} + \frac{R_r L_{sr}}{L_r}\mathbf{i}_{\alpha\beta}; \quad (2)$$

$$\dot{\omega} = \frac{1}{D}(\tau_E - \tau_L); \quad (3)$$

$$\tau_E = \frac{n_p L_{sr}}{L_r} \mathbf{i}_{\alpha\beta}^T \boldsymbol{\lambda}_{\alpha\beta}, \quad (4)$$

где $\boldsymbol{\lambda}_{\alpha\beta} = [\lambda_\alpha, \lambda_\beta]^T$ — потокосцепление ротора; $\mathbf{i}_{\alpha\beta} = [i_\alpha, i_\beta]^T$ — сила тока в обмотках статора; $\mathbf{v}_{\alpha\beta} = [v_\alpha, v_\beta]^T$ — питающее напряжение в обмотках статора; R_s, R_r — сопротивления статора и ротора; L_s, L_r — индуктивности статора и ротора, L_{sr} — взаимоиндукция статора и ротора; $\sigma = 1 - \frac{L_{sr}^2}{L_s L_r} > 0$ — коэффициент электромагнитного рассеяния в воздушном зазоре асинхронного двигателя; n_p — число пар полюсов; ω — скорость вращения ротора; D —

момент инерции ротора; τ_E — электромагнитный момент, τ_L — момент нагрузки, матрицы $\mathbf{I} = \begin{bmatrix} 1 & 0 \\ 0 & 1 \end{bmatrix}$ и $\mathbf{J} = \begin{bmatrix} 0 & -1 \\ 1 & 0 \end{bmatrix}$.

Во многих практических приложениях используются регуляторы тока с высоким коэффициентом усиления (иногда с пропорционально-интегральным контуром) для того, чтобы обеспечить силу тока в статоре $\mathbf{i}_{\alpha\beta}$, равную желаемой $\mathbf{i}_{\alpha\beta}^*$:

$$\mathbf{v}_{\alpha\beta} = \frac{1}{\epsilon} (\mathbf{i}_{\alpha\beta}^* - \mathbf{i}_{\alpha\beta}), \quad (5)$$

где ϵ — небольшое положительное число.

В предельном случае при $\epsilon \rightarrow 0$ модель (1)–(5) существенно упрощается до вида (2)–(4), где вектор $\mathbf{i}_{\alpha\beta} = \mathbf{i}_{\alpha\beta}^*$ может рассматриваться как входное управляющее воздействие. Однако модель (2)–(4) сохраняет существенно нелинейный вид, что усложняет синтез закона управления.

Рассмотрим вращающуюся систему координат, связанную с ротором, и введем замену координат по управляющему току и магнитному потоку ротора:

$$\mathbf{u} = L_{sr} \begin{bmatrix} \cos(n_p\theta) & \sin(n_p\theta) \\ -\sin(n_p\theta) & \cos(n_p\theta) \end{bmatrix} \mathbf{i}_{\alpha\beta}, \quad \boldsymbol{\lambda} = \begin{bmatrix} \cos(n_p\theta) & \sin(n_p\theta) \\ -\sin(n_p\theta) & \cos(n_p\theta) \end{bmatrix} \boldsymbol{\lambda}_{\alpha\beta}, \quad (6)$$

где θ — угол поворота ротора и $\dot{\theta} = \omega$; тогда модель (2)–(4), (6) примет вид

$$\frac{L}{R} \dot{\boldsymbol{\lambda}} = -\boldsymbol{\lambda} + \mathbf{u}; \quad (7)$$

$$D\dot{\omega} = \tau_E - \tau_L; \quad (8)$$

$$\tau_E = \mathbf{u}^T \mathbf{J} \boldsymbol{\lambda}, \quad (9)$$

где для упрощения введены обозначения $R = R_r$, $L = L_r$.

Для модели (7)–(9) известны алгоритмы управления \mathbf{u} для обеспечения заданного крутящего момента τ и заданной угловой скорости ω на основе метода непрямого полеориентированного управления [6, 7] при допущении, что момент нагрузки постоянный и точно известны значения сопротивления R и индуктивности L .

Для обеспечения устойчивости и заданных показателей качества в замкнутом контуре с дискретным регулятором целесообразно рассматривать точную разностную модель объекта управления. Для линейных динамических моделей такой переход тривиален, тогда как для модели асинхронного двигателя совсем не очевиден. Тем не менее, как показано в [7], точная дискретная модель асинхронного двигателя может быть вычислена согласно (7)–(9):

$$\boldsymbol{\lambda}_{k+1} = a\boldsymbol{\lambda}_k + (1-a)\mathbf{u}_k; \quad (10)$$

$$\tau_k = b\mathbf{u}_k^T \mathbf{J} \boldsymbol{\lambda}_k; \quad (11)$$

$$\omega_{k+1} = \omega_k + c\tau_k - d\tau_L, \quad (12)$$

где $a = e^{-\frac{R}{L}T}$, $b = \frac{n_p}{L}$, $c = \frac{(1-a)L}{DR}$, $d = \frac{T}{D}$ — соответствующие параметры разностной модели с интервалом дискретизации T , обозначение $z_k = z(kT)$, $k \in \mathbb{Z}_+$, соответствует значению непрерывного сигнала $z(t)$ в момент времени $t = kT$.

В этой же работе предложен алгоритм управления крутящим моментом и скоростью вращения ротора при допущении о точно известных параметрах модели:

$$\mathbf{u}_k = e^{\mathbf{J}\rho_k} \begin{pmatrix} \frac{\Psi_{k+1}^d}{1-a} \cos\beta_k - \frac{a}{1-a} \Psi_k^d \\ \frac{L}{\Psi_k^d n_p} \tau_k^d \end{pmatrix}; \quad (13)$$

$$\rho_{k+1}^d = \rho_k^d + \beta_k, \rho_0 = 0; \quad (14)$$

$$\beta_k = \arcsin\left(\frac{L(1-a)}{n_p \Psi_{k+1}^d \Psi_k^d} \tau_k^d\right); \quad (15)$$

$$\tau_k^d = \left[K_p + \frac{K_I}{q-1} \right] (\omega_d - \omega_k), \quad (16)$$

где τ_k^d — желаемое значение момента, которое может быть задано непосредственно пользователем или сформировано по алгоритму в режиме управления скоростью; $\omega_d \in \mathbb{R}$ — желаемое значение постоянной скорости вращения ротора, Ψ_k^d — желаемая траектория для амплитуды потока ротора $|\lambda_k|$, q — оператор сдвига $q^{\pm n}[z(k)] = z(k \pm n)$, коэффициенты усиления K_p и K_I соответствуют условию $c > K_p > K_I > 0$, а Ψ_k^d выбирается так, чтобы

$$\frac{|\tau_k^d|}{n_p \Psi_{k+1}^d \Psi_k^d} < \frac{1}{L(1-a)} \quad \forall k \in \mathbb{Z}_+. \quad (17)$$

При этих условиях верны соотношения

$$\lim_{k \rightarrow \infty} (\omega_k - \omega_d) = 0, \quad \lim_{k \rightarrow \infty} (|\lambda_k| - \Psi_k^d) = 0. \quad (18)$$

Синтез адаптивных наблюдателей. Используя изложенный в [9] подход, можно синтезировать алгоритм параметризации модели (10)–(12) и получить линейное регрессионное соотношение

$$\zeta_k = \boldsymbol{\eta}^T \boldsymbol{\Phi}_k \quad (19)$$

с вычислимыми по измерениям входного тока \mathbf{u}_k и угловой скорости ω_k последовательностями $\zeta_k \in \mathbb{R}$ и $\boldsymbol{\Phi}_k \in \mathbb{R}^6$ и вектором постоянных параметров

$$\boldsymbol{\eta} = \text{col}(a, \tau_L, (1-a)bc, a^2, a\tau_L, a^2\tau_L) = \text{col}(\eta_1, \dots, \eta_6) \in \mathbb{R}^6. \quad (20)$$

На основе (19) может быть сформирован алгоритм оценивания параметров $\hat{\boldsymbol{\eta}}$ с использованием одного из общеизвестных подходов: метода наименьших квадратов или градиентного спуска [10], динамического расширения и смешивания регрессора (DREM) [11, 12].

Метод DREM позволяет оценивать параметры регрессионных моделей при ослабленных требованиях к условиям возбуждения регрессора, при этом оценки сходятся к истинным значениям за регулируемое время без колебаний в переходном процессе. Другое достоинство метода — возможность оценивать только часть параметров регрессионной модели независимо друг от друга. Суть метода заключается в формировании такой системы регрессионных уравнений, чтобы их количество было не меньше размерности вектора искомых параметров. Каждое новое регрессионное уравнение получается из исходного, например (19), с помощью линейного динамического оператора (блока запаздывания или фильтра).

Выбрав векторный оператор $\mathcal{H}(q)[\cdot] = \mu_k \text{col}(1, q^{-1}, \dots, q^{-5})[\cdot]$ с некоторым коэффициентом $\mu_k \in \mathbb{R}_+$, можно получить матричное регрессионное уравнение вида

$$\mathbf{Z}_k = \boldsymbol{\eta}^T \boldsymbol{\Phi}_k, \quad (21)$$

где $\mathbf{Z}_k = \mathcal{H}(q)[\zeta_k] \in \mathbb{R}^6$, $\boldsymbol{\Phi}_k = \mathcal{H}(q)[\boldsymbol{\Phi}_k^T] \in \mathbb{R}^{6 \times 6}$.

С использованием операторов Крамера матричное регрессионное уравнение (21) может быть легко декомпозировано на систему из шести скалярных регрессионных уравнений

$$\mathbf{y}_k = \boldsymbol{\eta} \Delta_k, \quad (22)$$

где $\mathbf{y}_k = \text{adj}\{\boldsymbol{\Phi}_k\} \mathbf{Z}_k \in \mathbb{R}^6$, $\Delta_k = \det\{\boldsymbol{\Phi}_k\} \in \mathbb{R}$.

Алгоритм оценивания первых трех компонент вектора $\hat{\eta}$ имеет вид

$$\hat{\eta}_k^i = \hat{\eta}_{k-1}^i + [\mathbf{y}_k^i - \Delta_k \hat{\eta}_{k-1}^i], i = 1, 2, 3, \quad (23)$$

с некоторой положительной константой γ .

Значения неизвестных параметров R и L могут быть найдены из соотношений, полученных из (20), и функций $a = e^{-\frac{R}{L}T}$, $b = \frac{n_p}{L}$, $c = \frac{(1-a)L}{DR}$:

$$\hat{R}_k = \frac{n_p(1 - \hat{\eta}_{1k})^2}{D\hat{\eta}_{3k}}, \hat{L}_k = -\frac{n_p(1 - \hat{\eta}_{1k})T}{\ln(\hat{\eta}_{1k})D\hat{\eta}_{1k}}, \hat{\tau}_{Lk} = \hat{\eta}_{2k}. \quad (24)$$

Алгоритм адаптивного управления асинхронным двигателем. Алгоритм адаптивного непрямого полеориентированного управления может быть получен путем подстановки оценок $\hat{\eta}$ в алгоритм непрямого полеориентированного управления (13)–(16), в результате имеем

$$\mathbf{u}_k = e^{j\beta_k} \begin{pmatrix} \frac{\Psi_{k+1}^d}{1 - \hat{\eta}_{1k}} \cos \beta_k - \frac{\hat{\eta}_{1k}}{1 - \hat{\eta}_{1k}} \Psi_k^d \\ \frac{\hat{L}_k}{\Psi_k^d n_p} \tau_k^d \\ \end{pmatrix}, \quad (25)$$

$$\beta_k = \arcsin \left(\frac{\hat{L}_k(1 - \hat{\eta}_{1k})}{n_p \Psi_{k+1}^d \Psi_k^d} \tau_k^d \right). \quad (26)$$

Алгоритм (25), (26) обеспечивает асимптотическую сходимость вектора магнитного поля к заданному и слежение за произвольно заданным крутящим моментом:

$$\lim_{k \rightarrow \infty} (|\lambda_k| - \Psi_k^d) = 0, \quad \lim_{k \rightarrow \infty} (\tau_k - \tau_k^d) = 0, \quad (27)$$

а вместе с (16) алгоритм (25), (26) гарантирует слежение за заданной постоянной скоростью с выполнением условия

$$\lim_{k \rightarrow \infty} (\omega_k - \omega_d) = 0. \quad (28)$$

Заметим, что выполнение условий (27) и (28) достигается без использования датчиков потокосцепления и крутящего момента.

В более общем виде изложенный подход может быть представлен как структурная схема (рис. 1).

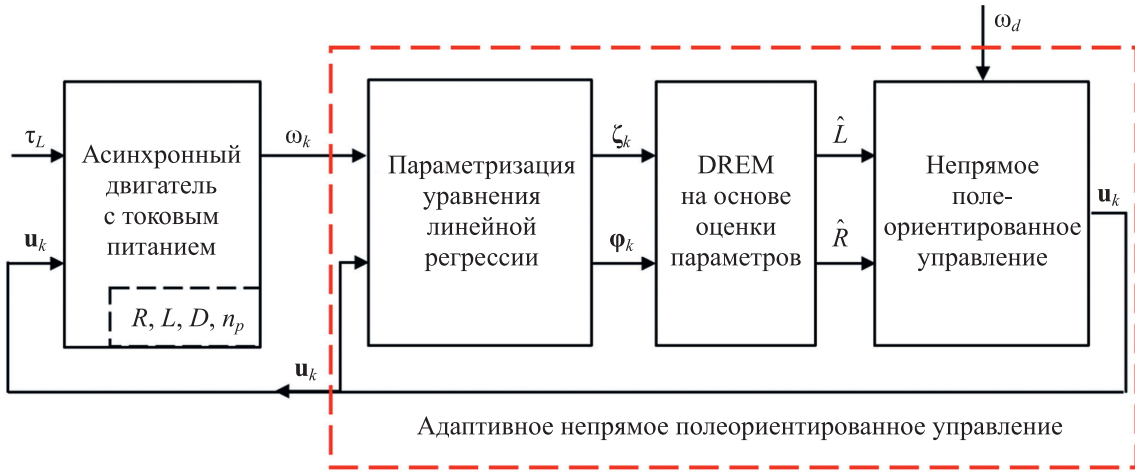


Рис. 1

Заметим, что закон управления (16), (25), (26) позволяет определить номинальное управление для модели двигателя во вращающейся системе координат. Для получения физически реализуемого управления необходимо выполнить следующие вычисления:

$$(\mathbf{i}_{\alpha\beta}^*)_k = L_{sr} \begin{bmatrix} \cos(n_p\theta) & -\sin(n_p\theta) \\ \sin(n_p\theta) & \cos(n_p\theta) \end{bmatrix} \mathbf{u}_k, \quad (29)$$

$$(\mathbf{v}_{\alpha\beta})_k = \frac{1}{\epsilon} ((\mathbf{i}_{\alpha\beta}^*)_k - (\mathbf{i}_{\alpha\beta})_k). \quad (30)$$

Применив обратное преобразование Кларк к сигналам напряжения (30), можно получить выражение для физически реализуемого напряжения питания обмоток статора асинхронной машины.

Система бездатчикового управления асинхронным двигателем. Частотно-регулируемую систему управления трехфазным электродвигателем переменного тока можно представить в виде функциональной схемы (рис. 2), где 1 — источник питания, 2 — выпрямитель, 3 — фильтр, 4 — инвертор, 5 — система управления, 6 — блок координатных преобразований, M — электродвигатель.

Функциональное назначение выпрямителя 2 — преобразование синусоидального напряжения в постоянное. Инвертор 4 содержит полупроводниковые элементы, работающие в ключевом режиме, и блок широтно-импульсной модуляции (ШИМ). Его функциональное назначение — формирование управляющего воздействия, которое используется для питания электродвигателя. Система управления 5 содержит регуляторы d и q составляющих силы тока, а также регуляторы скорости вращения и угла поворота ротора, в качестве желаемых значений выступают угловое положение ротора θ_d , скорость вращения ротора ω_d и электромагнитный момент двигателя τ_d . Блок координатных преобразований 6 реализует преобразования Кларк и Парка из вращающейся системы координат dq в неподвижную abc на основе данных блока оценивания, который формирует сигнал оценки углового положения $\hat{\theta}$ и скорости вращения ротора $\hat{\omega}$, используя измеренные мгновенные значения электрических переменных ($\mathbf{u}_{abc}, \mathbf{i}_{abc}$) и/или механических величин (θ, ω, τ).

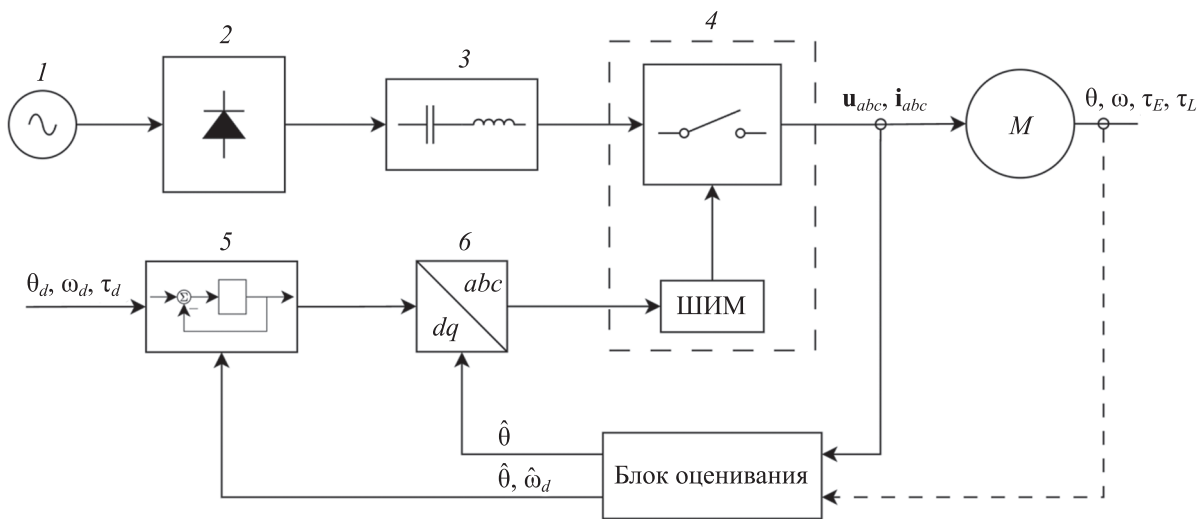


Рис. 2

Заметим, что оценка скорости вращения ротора $\hat{\omega}$ может быть получена на основе электрических сигналов ($\mathbf{u}_{abc}, \mathbf{i}_{abc}$), как показано в [13, 14], при этом скорость может быть оценена при произвольном питающем напряжении, достаточно лишь измерять напряжения и токи в обмотках статора. Оценить угловое положение можно путем интегрирования оценки скорости:

$\dot{\hat{\theta}} = \hat{\omega}$. Оценка углового положения не будет асимптотически стремиться к истинному значению, поскольку интеграл от ошибки оценивания скорости вероятно даст постоянную ошибку в установленном режиме. Тем не менее можно использовать эту оценку угла в преобразованиях (6) и (29). В этом случае после переходного процесса алгоритма оценивания скорости $\hat{\omega}$ будет также справедлива модель (7)–(9) и все последующие вычисления. Таким образом, блок оценивания может содержать только данные об электрических сигналах, а датчики механических переменных состояния могут не использоваться в системе управления.

Заключение. Рассмотрены математические модели асинхронного электродвигателя. На базе точной дискретной модели во вращающейся системе координат, связанной с ротором, синтезированы алгоритм адаптивного непрямого полеориентированного управления, гарантирующий точное оценивание неизвестных сопротивления и индуктивности ротора и момента нагрузки в предположении, что они постоянны, а также асимптотическое слежение за заданным моментом нагрузки или заданной скоростью вращения ротора. Показано, что, используя алгоритм оценивания скорости вращения ротора методом, изложенным в [13, 14], возможно реализовать бездатчиковое управление по механическим переменным (без использования датчиков положения угла и скорости вращения ротора). Анализ устойчивости такого комбинированного управления с адаптивным наблюдателем угловой скорости по измерениям только токов и напряжений на обмотках статора требует отдельного исследования.

СПИСОК ЛИТЕРАТУРЫ

1. Leonhard W. Control of Electrical Drives. Springer Science & Business Media, 2001.
2. Nam K. H. AC Motor Control and Electric Vehicle Applications. CRC Press, 2010.
3. Ortega R., Loria A., Nicklasson P. J., Sira-Ramirez H. Passivity-based Control of Euler-Lagrange Systems: Mechanical, Electrical and Electromechanical Applications. London: Springer, 1998. P. 15–37.
4. Blaschke F. Das Prinzip der Feldorientierung, die Grundlage für die TRANSVEKTOR-Regelung von Asynchronmaschinen. Siemens Zeitschrift, 1971. Pg. 757.
5. Hasse K. Zur Dynamik drehzahlregelter Antriebe mit stromrichtergespeisten Asynchron-Kurzschlußläufersmaschinen: Extended abstracts of PhD Thesis. Darmstadt, 1969.
6. Espinosa-Pérez G., Ortega R., Nicklasson P. J. Torque and flux tracking of induction motors // Intern. Journal of Robust and Nonlinear Control. 1997. Vol. 7, N 1. P. 1–9.
7. Ortega R., Taoutaou D. On discrete-time control of current-fed induction motors // Systems & Control Letters. 1996. Vol. 28, N 3. P. 123–128.
8. Пыркин А. А., Та М. Ш., Нгуен К. К. Адаптивное управление по выходу асинхронным двигателем на основе динамического регулятора // XIV Всерос. совещ. по проблемам управления (ВСПУ). 2024.
9. Pyrkin A. A., Ta M. S., Nguyen Q. C., Sinetova M. M.. Adaptive observer design for time-varying systems with relaxed excitation conditions // IFAC PapersOnline. 2022. P. 312–317.
10. Льюинг Л. Идентификация систем. Теория для пользователя. М.: Наука, 1991.
11. Aranovskiy S., Bobtsov A., Ortega R., Pyrkin A. Performance Enhancement of Parameter Estimators via Dynamic Regressor Extension and Mixing // IEEE Trans. on Automatic. Control. 2016. Vol. 62, N 7. P. 3546–3550.
12. Ortega R., Aranovskiy S., Pyrkin A. A., Astolfi A., Bobtsov A. A. New results on parameter estimation via dynamic regressor extension and mixing: Continuous and discrete-time cases // IEEE Trans. on Automatic Control. 2020. Vol. 66, N 5. P. 2265–2272.
13. Pyrkin A., Bobtsov A., Vedyakov A., Ortega R., Vediakova A., Sinetova M. A flux and speed observer for induction motors with unknown rotor resistance and load torque and no persistent excitation requirement // Intern. Journal of Adaptive Control and Signal Processing. 2021. Vol. 35, N 8. P. 1578–1593.
14. Нгуен К. К. Применение метода дрембайо для наблюдателя магнитного потока и скорости вращения ротора асинхронного двигателя // Материалы XXV Юбилейной конф. молодых ученых „Навигация и управление движением“. СПб, 2003. С. 159–162.

СВЕДЕНИЯ ОБ АВТОРАХ

Куанг Куонг Нгуен

— аспирант; Университет ИТМО, факультет систем управления и робототехники; E-mail: quangcuonghvq.cd@gmail.com

Антон Александрович Пыркин

— д-р техн. наук, профессор; Университет ИТМО, факультет систем управления и робототехники; E-mail: pyrkin@itmo.ru

Антон Кириллович Голубев

— аспирант; Университет ИТМО, факультет систем управления и робототехники; ассистент; E-mail: akgolubev@itmo.ru

Поступила в редакцию 15.04.2024; одобрена после рецензирования 18.04.2024; принята к публикации 16.05.2024.

REFERENCES

1. Leonhard W. *Control of electrical drives*, Springer Science & Business Media, 2001.
2. Nam K.H. *AC Motor control and electric vehicle applications*, CRC Press, 2010.
3. Ortega R., Loria A., Nicklasson P.J., Sira-Ramirez H. *Passivity-based Control of Euler-Lagrange Systems: Mechanical, Electrical and Electromechanical Applications*, Springer London, 1998, pp. 15–37.
4. Blaschke F. *Das Prinzip der Feldorientierung, die Grundlage für die TRANSVEKTOR-Regelung von Asynchronmaschinen*, Siemens Zeitschrift, 1971, 757 p.
5. Hasse K. *Zur Dynamik drehzahlgeregelter Antriebe mit stromrichtergespeisten Asynchron-Kurzschlußläufermaschinen*, Diss, TH Darmstadt, 1969.
6. Espinosa-Pérez G., Ortega R., Nicklasson P.J. *Intern. J. of Robust and Nonlinear Control: IFAC-Affiliated Journal*, 1997, no. 1(7), pp. 1–9.
7. Ortega R. and Taoutaou D. *Systems & Control Letters*, 1996, no. 3(28), pp. 123–128.
8. Pyrkin A.A., Ta M.S., Nguyen Q.C. *IV Vserossiyskoye soveshchaniye po problemam upravleniya* (IV All-Russian Meeting on Problems of Management), 2024. (in Russ.)
9. Pyrkin A. A., Ta M.S., Nguyen, Q.C., Sinetova M.M. *IFAC PapersOnline*, 2022, pp. 312–317.
10. Ljung L. *System Identification, Theory for the User*, NJ, PTR Prentice Hall, 1987.
11. Aranovskiy S., Bobtsov A., Ortega R., Pyrkin A. *IEEE Trans. Automat. Control*, 2016, no. 7(62), pp. 3546–3550.
12. Ortega R., Aranovskiy S., Pyrkin A.A., Astolfi A., Bobtsov A.A. *IEEE Transactions on Automatic Control*, 2020, no. 5(66), pp. 2265–2272.
13. Pyrkin A., Bobtsov A., Vedyakov A., Ortega R., Vediakova A., Sinetova M. *Intern. J. of Adaptive Control and Signal Processing*, 2021, no. 8(35), pp. 1578–1593.
14. Nguyen Q.C. *Materialy XXV Yubileynoy konferentsii molodykh uchenykh "Navigatsiya i upravleniye dvizheniyem"* (Proceedings of the XXV Anniversary Conference of Young Scientists "Navigation and Traffic Control"), 2023, pp. 159–162. (in Russ.)

DATA ON AUTHORS

Quang Cuong Nguyen

— Post-Graduate Student; ITMO University, Faculty of Control Systems and Robotics; E-mail: quangcuonghvq.cd@gmail.com

Anton A. Pyrkin

— Dr. Sci., Professor; ITMO University, Faculty of Control Systems and Robotics; E-mail: pyrkin@itmo.ru

Anton K. Golubev

— Post-Graduate Student; ITMO University, Faculty of Control Systems and Robotics; Assistant; E-mail: akgolubev@itmo.ru

Received 15.04.2024; approved after reviewing 18.04.2024; accepted for publication 16.05.2024